

## アーチ橋の立体強度設計に関する研究

○東北大工学部 学生員 奥寺 浩之  
東北大工学部 正員 倉西 茂

1. まえがき： アーチ橋において構構は、並列するアーチ主材で横方向に連結して地盤や風などへの側方荷重に対する構造部材であるだけではなく、他の部材と有機的に協力することにより、橋全体として鉛直荷重に対する極限強度を向上させ役割を果してい。しかし、この剛性が不足してしまった場合に、側方荷重による面外不整が面外崩壊の誘発原因となる可能性がある。そこで本研究では、有限変位弾塑性解析法を用いて、アーチ橋の鉛直荷重に対する極限強度が受けた側方荷重の影響を、構構へ剛性パラメータとして検討を行ない、その耐荷性状を明らかにした。さらに、アーチ橋が面外崩壊を防ぐために必要な構構の剛度算定式の提案を行なった。

2. モデル化： 解析モデルは、図-1に示すような全パネル型構構で有する2ヒンジ放物線アーチ橋である。ただし、ここではアーチ構造単独の極限強度を求めため、吊材や補剛材等は考慮しない。アーチ主材断面は箱形長方形断面とし、残留応力を考慮している。また、アーチ主材は全軸線長にわたり均一断面とし、橋軸方向に20分割して解析を行なった。構構斜材は、アーチ主材間に斜めに取り付けられた線形でねじモデル化し、その刚性係数  $K_s$  は

$$K_s = \mu_s \frac{12 E A_a}{c} \left( \frac{d}{L_s} \right)^2 \quad (1)$$

である。 $\mu_s$  は、アーチ主材-1体構造としての面外曲げ剛性と斜材間の斜材で腹壁をもつせん断剛性との比を表すパラメーターで、次式で定義する。

$$\mu_s = \frac{G A_{eq}}{24 E A_a} \left( \frac{L_s}{b} \right)^2 \quad (2)$$

ここで、 $G$ ：せん断弾性係数、 $b$ ：アーチ主材間隔、 $A_{eq}$ ：斜材と等価なせん断剛性を有する腹板の断面積である。また、構構横ばり材については、文献(1)の方法で主材間に付加された回転自由度を考慮せずにモデル化して。解析は用いたパラメーターの範囲は、アーチ主材面内細長比  $l_{in}$  ( $= L_s / \sqrt{I_r / A_a}$ ) を 200 ~ 450、面外細長比  $l_{out}$  ( $= L_s / \sqrt{(b/2)^2 + I_r / A_a}$ ) を 20 ~ 60、斜材剛性パラメーター  $\mu_s$  を 0.01 ~ 1.00 とした。また、構構斜材の剛性パラメーター  $\mu_s$  は一定値 10 とした。ライズ・スペニング比  $L_s / h$  を 0.15 ~ 0.30 とした。

3. 荷重パターン： 一定の側方荷重をかけて状態で鉛直荷重を増加させ、解析途中で変位が発散する最大荷重点を求めて極限強度とした。側方荷重強度  $\gamma$  として、基本風荷重  $p_0$  に対する比率  $\gamma = p / p_0$  を 0.0 と 0.5 の2種類で考えた。基本風荷重は次式で表わす。

$$p_0 = \frac{1}{2} \rho C_D V_w^2 h \quad (3)$$

ここで、 $\rho$ ：空気密度 ( $0.125 \text{ kg} \cdot \text{s}^2 / \text{m}^4$ )、 $V_w$ ：風速 ( $55 \text{ m/s}$ )、 $C_D$ ：アーチ主材の抗力係数 (2.19)、 $h$ ：主材高さである。また、鉛直荷重強度  $\gamma_1$  は、アーチ橋に等分布荷重を作用させた場合、アーチスパンningang部の軸力にたり降伏を生じたときの荷重強度  $\gamma_{p_1}$  により無次元化している。また、側方荷重に対する遮蔽効果を考慮した。

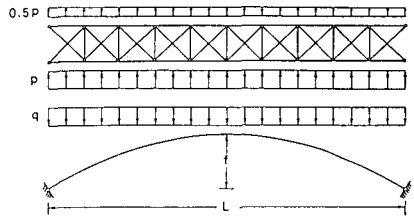


図-1 解析モデル

4. 解析結果： 図-2は崩壊に至るまでの代表的な荷重-変位曲線を斜材剛性を変化させて示した。図の変位下グラフ部へもへを示してある。斜材剛性が小さい場合( $\mu_s = 0.01$ )、鉛直荷重の増加に伴って変形は室内・室外ともに増加し、室外の崩壊形式となる。また、斜材剛性の大きい場合( $\mu_s = 1$ )、変形は室内へみで増加し、室内の崩壊形式となることがわかる。図-3は、代表的な斜材剛性と極限強度の関係を示す。図中 $I=12$ 、主桁一本の平面解釈にて、 $\lambda_{in}$ も破線で示してある。図より、一般的な極限強度は $\mu_s$ の大きな領域ではアーチの室内強度は支配的で、逆に $\mu_s$ が小さい領域では室外崩壊形式となる。 $\mu_s$ の低下と共に、極限強度は急激に低下する。また、側方荷重を考慮した場合考慮しない場合に比べて全体的に極限強度の低下が認められる。さらに、アーチ橋の崩壊が室内で起きるよりは、外側で起る必要ない $\mu_s^*$ の最小値は、側方荷重の存在により増加させるべきである。

5. 最小斜材剛性パラメータ -  $\mu_s^*$  の導出： 上記の基本特性でも述べたように、アーチ橋の立体強度が室内強度で決定されるために必要な最小斜材剛性パラメータ -  $\mu_s^*$  の算定式の導出で以下の通り提案する。 $\mu_s$ の大きな領域では、アーチ橋の極限強度はアーチ主桁の室内座屈強度は支配的である。一方、 $\mu_s$ の小さな領域では、2本の主桁が構造により一體構造となり斜材と等価なせん断剛性をもつ柱としての室外座屈強度に支配される。アーチ橋の室内座屈と室外座屈を起す境界となる $\mu_s^*$ でもある場合、室内座屈軸力と室外座屈軸力が等しくなることから、最小斜材剛性パラメータ -  $\mu_s^*$  (は次のよう)を導出した。

$$\mu_s^* = \frac{\pi^2}{48} \frac{1}{(\lambda_{in} \lambda_{in} / \lambda_{out} \lambda_{out})^2 - 1} \quad (4)$$

ここで、 $\lambda_{in}$ は主桁軸線長に対する室外座屈長倍数、細長比であり、 $in, out$ は室内、室外に対応する。図-4は(4)式で算定された $\mu_s^*$ と側方荷重を受けける場合の解析値( $(\mu_s^*)_{p=0.0}$ )と相関を示したもので、両者はよく一致を示している。図-5は、側方荷重を受けける場合の相関を示しており、算定値の2倍程度も必要があることを示す。

6. 結論： アーチ橋の鉛直荷重による崩壊は、側方荷重を受けない場合は(4)式で算定できる $\mu_s^*$ 以上、側方荷重を受け場合 $2\mu_s^*$ 以上であれば室内で起り、室内强度を極限強度と評価することができる。また、(4)式は構造斜材の剛性を媒介とした室外座屈照査式としても利用できる。

参考文献：I) 倉西・矢吹：鋼アーチ橋の極限強度と横構剛性への影響について、土木学会論文報告集、No.305、1981。

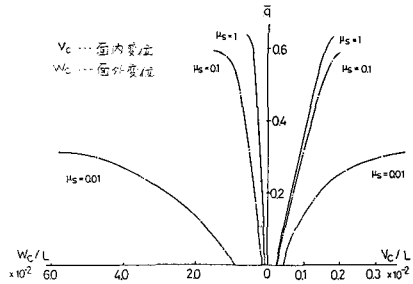


図-2 荷重-変位曲線

( $\bar{p} = 0.5$ ,  $\lambda_{in} = 200$ ,  $\lambda_{out} = 40$ )

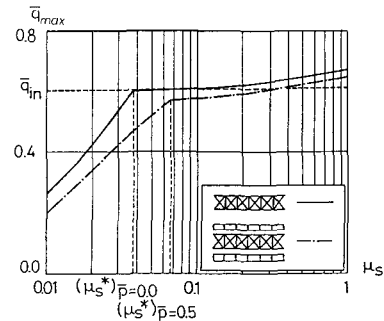


図-3 斜材剛性と極限強度の関係  
( $\lambda_{in} = 200$ ,  $\lambda_{out} = 40$ )

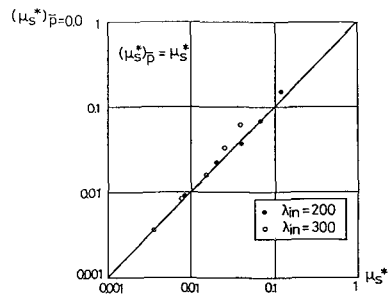


図-4  $\mu_s^* - (\mu_s^*)_{p=0.0}$  関係

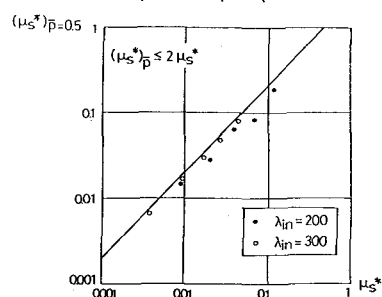


図-5  $\mu_s^* - (\mu_s^*)_{p=0.5}$  関係